

# So sánh khả năng phản ứng của gốc propargyl ( $C_3H_3$ ) với phân tử amoniac ( $NH_3$ ) và gốc methyl ( $CH_3$ ) trong pha khí

Comparison the reactive capability of propargyl radical ( $C_3H_3$ ) to ammonia ( $NH_3$ ) and methyl radical ( $CH_3$ ) in the gas phase

**Phạm Văn Tiến\***, **Nguyễn Ngọc Tuệ**

Trường Đại học Bách khoa Hà Nội, Số 1, Đại Cồ Việt, Hai Bà Trưng, Hà Nội  
Đến Tòa soạn: 20-6-2016; chấp nhận đăng: 28-02-2017

## Tóm tắt

Cơ chế phản ứng giữa propargyl với amoniac và methyl đã được nghiên cứu bằng phiếm hàm mật độ (DFT) với việc sử dụng phiếm hàm B3LYP và bộ cơ sở 6-311++G(3df,2p). Kết quả tính toán chỉ ra rằng hệ phản ứng  $C_3H_3 + NH_3$  có 2 hướng chính: tách nguyên tử H và cộng hợp, trong khi đó hệ phản ứng còn lại chỉ có phản ứng cộng hợp. Nếu hai đường phản ứng cộng của  $C_3H_3 + NH_3$  có giá trị năng lượng khá cao thì hai hướng phản ứng cộng của  $C_3H_3 + CH_3$  lại không có trạng thái chuyển tiếp ở đầu vào. Xét về mặt nhiệt động, tất cả các sản phẩm đều có thể được tạo ra ở điều kiện khảo sát, trong đó sản phẩm  $P_2$  ( $HCCCH_3 + NH_2$ ) của hệ thứ nhất và  $P_6$  ( $C_2H_2 + C_2H_4$ ) của hệ thứ hai dễ tạo ra nhất. Ngoài ra, kết quả tính năng lượng cũng chỉ ra rằng hệ phản ứng  $C_3H_3 + CH_3$  dễ xảy ra hơn so với hệ  $C_3H_3 + NH_3$ .

Từ khóa: Cơ chế phản ứng, gốc propargyl, bộ cơ sở, ammonia, gốc methyl.

## Abstract

The reaction mechanisms between propargyl radical and ammonia ( $NH_3$ ) or methyl radical ( $CH_3$ ) have been studied by the Density Functional Theory (DFT) using the B3LYP functional in conjunction with the 6-311++G(3df,2p) basis set. Our calculations show that the  $C_3H_3 + NH_3$  reaction has two main entrance channels: H-abstraction and addition while other has only one type of entrance which is addition. If two additional reaction pathways of  $C_3H_3 + NH_3$  have relative energies (kcal.mol<sup>-1</sup>) are found to be fairly high, the two additional directions of  $C_3H_3 + CH_3$  have no transition states at the beginning of entrance. In terms of thermodynamic side, all of products are possible to be produced at the investigated condition, in which the product  $P_2$  ( $HCCCH_3 + NH_2$ ) of the first system and  $P_6$  ( $C_2H_2 + C_2H_4$ ) of the second reaction are the most favorable. Besides, the analytical results of energies showed that the  $C_3H_3 + CH_3$  reaction takes place more easily compared to the  $C_3H_3 + NH_3$  system.

Keywords: Reaction mechanism, propargyl radical, basis sets, ammonia, methyl radical.

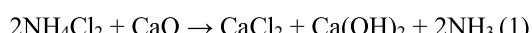
## 1. Mở đầu

Trong tự nhiên, gốc propargyl được hình thành trong quá trình đốt cháy các nhiên liệu, đặc biệt là các nhiên liệu chứa nhiều chất béo [1-5]. Bằng sự phân tích cho thấy, gốc propargyl ( $C_3H_3$ ) và các hidrocacbon thơm đa vòng như benzen, naphthalen ... đều xuất hiện trong quá trình đốt cháy các nhiên liệu nói trên [6]. Tuy gốc  $C_3H_3$  chỉ là một sản phẩm trung gian kém bền nhưng lại có vai trò quan trọng, quyết định cơ chế phản ứng và sản phẩm tạo thành trong các phản ứng hóa học [7].

Xét về mặt cấu tạo,  $C_3H_3$  là một gốc tự do còn một electron độc thân nên có khả năng phản ứng cao, nó có thể phản ứng với nhiều gốc tự do và phân tử hay nguyên tử khác trong pha khí [8]. Việc so sánh khả năng phản ứng của gốc propargyl với phân tử

amoniac và gốc methyl sẽ giúp chúng ta hiểu rõ hơn về khả năng phản ứng của  $C_3H_3$  với cấu trúc vỏ đóng ( $NH_3$ ) và cấu trúc vỏ mở ( $CH_3$ ). Vì vậy, trong bài báo này chúng tôi sẽ đưa ra cơ chế phản ứng của cả hai hệ  $C_3H_3 + NH_3$  và  $C_3H_3 + CH_3$  để thấy rõ được khả năng phản ứng của hệ nào là tốt hơn.

Amoniac được tìm thấy với lượng vết trong không khí, trên khắp các hệ thống năng lượng mặt trời, trên sao Diêm Vương, sao Hỏa, sao Mộc, sao Thổ, sao Thiên Vương và sao Hải Dương [9-11]. Amoniac còn được sinh ra trong quá trình đốt cháy các nhiên liệu và quá trình cháy rừng cũng góp phần vào việc hình thành đáng kể lượng  $NH_3$  trong không khí [12]. Trước chiến tranh thế giới thứ nhất, hầu hết amoniac thu được từ việc chưng cất khô từ thực vật giàu đạm và chất thải động vật [13]. Ngoài ra,  $NH_3$  còn được sản xuất từ việc chưng cất than đá, và phân hủy các muối amoni bằng kiềm như vôi tó, sút; muối thường được sử dụng là amoni clorua [14]:



\* Corresponding author: Tel.: (+84) 917.604.068  
Email: tien.phamvan@hust.edu.vn

Hiện nay, trong công nghiệp,  $\text{NH}_3$  được tổng hợp từ  $\text{N}_2$  và  $\text{H}_2$ :  $\text{N}_2 + \text{H}_2 \rightarrow \text{NH}_3$  (2). Phản ứng được thực hiện ở điều kiện  $450^\circ\text{C}$ , 200 atm, xúc tác là Fe. Xét về mặt cấu tạo thì phân tử  $\text{NH}_3$  còn 1 cặp electron chưa tham gia liên kết nên dễ dàng tham gia vào các liên kết cho nhận trong các phản ứng hóa học. [15]

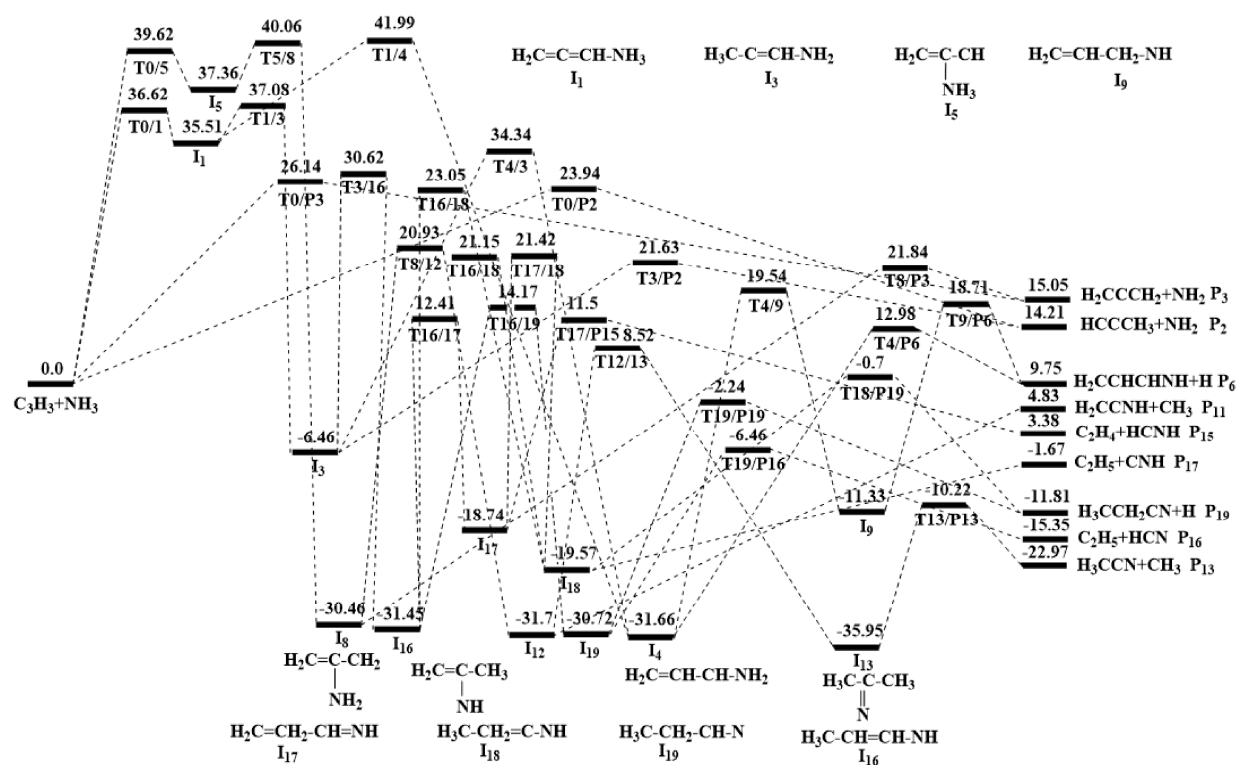
$\text{CH}_3$  là một gốc hydrocacbon, được phát hiện trong môi trường liên sao bởi nhóm nghiên cứu của Helmut Feuchtgruber [16]. Nó vừa là chất oxy hóa, vừa là chất khử mạnh và là một chất ăn mòn kim loại:  $\text{M} + \text{nCH}_3 \rightarrow \text{M(CH}_3)_n$  (3). Nó có thể được tạo ra bằng việc phân ly quang học của hơi axeton ở bước sóng 193 nm [17],  $\text{C}_3\text{H}_6\text{O} \rightarrow \text{CO} + 2\text{CH}_3$  (4). Nó cũng có thể được tạo ra bằng việc dùng tia cực tím phân tách quang học đối với hợp chất halomethanes,  $\text{CH}_3\text{X} \rightarrow \text{X} + \text{CH}_3$  (5). Ngoài ra, gốc methyl cũng được sinh ra bởi phản ứng giữa  $\text{CH}_4$  với gốc OH,  $\text{CH}_4 + \text{OH} \rightarrow \text{CH}_3 + \text{H}_2\text{O}$  (6). Xét về mặt cấu tạo, gốc methyl còn một electron tự do khu trú trên nguyên tử cacbon nên dễ dàng tham gia vào các phản ứng hóa học để tạo thành liên kết cộng hóa trị. [18]

Những đặc thù về cấu tạo và tính chất của cả  $\text{NH}_3$  và  $\text{CH}_3$  cho phép chúng ta có thể so sánh về khả năng phản ứng của chúng với  $\text{C}_3\text{H}_3$  bằng phương pháp phiếm hàm mật độ. Việc nghiên cứu cơ chế phản ứng giữa chúng bằng phương pháp hóa học

lượng tử sẽ làm sáng tỏ khả năng phản ứng của  $\text{C}_3\text{H}_3$  với các chất khác nhau trong pha khí.

## 2. Phương pháp tính

Bằng việc sử dụng phương pháp phiếm hàm mật độ ở mức B3LYP/6-311++G(3df,2p) [19], chúng tôi đã tối ưu cấu trúc hình học của các chất phản ứng, các chất trung gian, trạng thái chuyển tiếp và các sản phẩm của cả 2 hệ phản ứng  $\text{C}_3\text{H}_3 + \text{NH}_3$  và  $\text{C}_3\text{H}_3 + \text{CH}_3$ . Trong đó trạng thái chuyển tiếp đúng được xác thực bằng việc phân tích tần số dao động, tọa độ thực (IRC) của phản ứng. Bên cạnh đó, năng lượng điểm đơn của tất cả các chất ở cả 2 hệ trên đều được tính ở mức rất cao CCSD(T) / 6-311++G(3df,2p) // B3LYP / 6-311++G(3df,2p) [20]. Năng lượng tương quan của mỗi cấu tử được hiệu chỉnh đối với các năng lượng dao động điểm không. Các bước không có hàng rào năng lượng được kiểm tra bằng thủ tục đường cong thể năng ở cùng mức lý thuyết dọc theo tọa độ phản ứng từ trạng thái cân bằng với bước nhảy 0,1 Å. Các cấu tử tìm thấy được tiến hành phân tích tần số dao động để tìm ra sự phù hợp của cấu trúc. Từ các kết quả nhận được sẽ xác định cấu trúc, năng lượng, các thông số nhiệt động và thiết lập bề mặt thể năng của 2 hệ. Đó sẽ là cơ sở để so sánh và phân tích về khả năng phản ứng của hai hệ nêu trên.



Hình 1. Bề mặt thể năng chi tiết của hệ phản ứng giữa  $\text{C}_3\text{H}_3$  với  $\text{NH}_3$

### 3. Kết quả và thảo luận

#### 3.1. Bề mặt thế năng hệ $C_3H_3 + NH_3$

Trên bề mặt thế năng của hệ  $C_3H_3 + NH_3$ , hệ chất tham gia phản ứng ban đầu kí hiệu là RA; các sản phẩm tạo thành được ký hiệu là  $P_x$  ( $x = 1-21$ ); các cấu trúc cực tiểu trung gian được ký hiệu là  $I_y$  ( $y = 1-21$ ) và các cấu trúc trạng thái chuyển tiếp được ký hiệu là  $Ta/b$ , với  $a, b$  là các cực tiểu, chất phản ứng hoặc sản phẩm phản ứng; ví dụ  $T1/4$  là trạng thái chuyển tiếp giữa hai chất trung gian là  $I1$  và  $I4$ ;  $T0/P2$  là trạng thái chuyển tiếp nối giữa chất phản ứng ban đầu và sản phẩm  $P2$  (hình 1).

Các đường phản ứng có hàng rào năng lượng cao sẽ được lược bỏ bớt, vì sự đóng góp của chúng vào sản phẩm phản ứng là không đáng kể. Vì vậy, trên hình 1 là bề mặt thế năng rút gọn sau khi đã lược bỏ bớt các đường phản ứng sinh ra các sản phẩm  $P1, P4, P5, P7, P8, P9, P10, P12, P14, P18, P20$  và  $P21$ .

#### 3.2. Phân tích các đường phản ứng của hệ $C_3H_3 + NH_3$

Từ bề mặt thế năng (PES) nhận thấy, giữa góc  $C_3H_3$  và  $NH_3$  có thể xảy ra phản ứng theo hướng tách nguyên tử H của  $NH_3$  hoặc theo hướng cộng hợp hai chất với nhau.

##### 3.2.1. Phản ứng theo hướng cộng hợp

Có hai hướng cộng hợp giữa 2 chất phản ứng với nhau. Sự tấn công của  $NH_3$  vào góc  $C_3H_3$  có thể xảy ra trên hai nguyên tử cacbon. Khi  $NH_3$  tấn công vào nguyên tử cacbon trung tâm của  $C_3H_3$  sẽ tạo ra sản phẩm trung gian  $I_5$  ( $H_2C=C(NH_3)-CH$ ) thông qua trạng thái chuyển tiếp  $T0/5$  ứng với hàng rào năng lượng là 39,6 kcal/mol. Đây là quá trình thu nhiệt, với nhiệt lượng thu vào là 37,36 kcal/mol. Cấu trúc của  $T0/5$  cho thấy khoảng cách  $C...N$  khá xa nhau, khoảng 1,8 Å, điều này hoàn toàn phù hợp với cấu trúc của trạng thái chuyển tiếp. Từ  $I_5$ , sản phẩm đồng phân trung gian  $I_8$  ( $H_2C=C(NH_2)-CH_2$ ) được tạo ra thông qua trạng thái chuyển tiếp  $T5/8$  bằng sự dịch chuyển nguyên tử H từ nhóm  $NH_3$  sang nhóm CH; quá trình này chỉ cần vượt qua hàng rào năng lượng 2,7 kcal/mol. So với  $I_5$  thì  $I_8$  khá bền vững vì có giá trị năng lượng tương quan nằm dưới chất phản ứng là 30,46 kcal/mol.  $I_8$  sau khi được hình thành, có thể tham gia vào hai hướng phản ứng; hướng thứ nhất có sự tách nhóm  $NH_2$  thông qua trạng thái chuyển tiếp  $T8/P3$  (21,84 kcal/mol) để trở thành sản phẩm  $P3$  ( $H_2C=C=CH_2 + NH_2$ ) có năng lượng tương quan là 15,05 kcal/mol; hướng thứ hai tạo ra chất trung gian  $I_{12}$  ( $H_3C-C(NH)=CH_2, -31,7$  kcal/mol) khi đi qua trạng thái chuyển tiếp  $T8/12$  với hàng rào năng lượng là 51,39 kcal/mol. Từ  $I_{12}$  lại có hai hướng phản ứng khác nhau để hình thành các sản phẩm là  $P_{11}$  và  $P_{13}$ . Trong đó, hướng tạo ra sản phẩm  $P_{11}$  ( $H_2CCNH +$

$CH_3$ ) là quá trình tách trực tiếp nhóm  $CH_3$  mà không thông qua trạng thái chuyển tiếp; hướng còn lại trải qua trạng thái chuyển tiếp ở vị trí 8,52 kcal/mol hình thành nên chất trung gian  $I_{13}$  ( $H_3C-C(N)-CH_3$ ). Như vậy, đã có sự chuyển dịch nguyên tử H từ nhóm NH sang nhóm  $CH_2$  khi hình thành  $I_{13}$ . Với cấu trúc của  $I_{13}$  có thể thấy rằng đây là chất trung gian bền vững nhất, điều này cũng được thể hiện ở mức năng lượng thấp nhất là -35,95 kcal/mol so với các chất trung gian khác. Từ  $I_{13}$ , sản phẩm  $P_{13}$  ( $H_3CCN + CH_3, -22,97$  kcal/mol) được hình thành thông qua trạng thái chuyển tiếp  $T13/P13$  ứng với mức năng lượng -10,22 kcal/mol so với chất ban đầu. Đây là sản phẩm bền vững nhất vì có năng lượng thấp nhất so với tất cả các sản phẩm còn lại. Tuy sản phẩm  $P_{11}$  có năng lượng cao hơn sản phẩm  $P_{13}$ , nhưng  $P_{11}$  lại là sản phẩm tạo ra trực tiếp từ  $I_{12}$  mà không thông qua trạng thái chuyển tiếp nào, trong khi đó  $P_{13}$  lại phải trải qua nhiều trạng thái chuyển tiếp; do đó có thể nói  $P_{11}$  chính là sản phẩm cạnh tranh với  $P_{13}$ .

Mặt khác, khi  $NH_3$  tấn công vào nguyên tử cacbon đầu mạch của  $C_3H_3$  sẽ tạo ra sản phẩm trung gian  $I_1$  ( $H_2C=C=CH-NH_3$ ) thông qua hàng rào năng lượng 36,62 kcal/mol ứng với trạng thái chuyển tiếp  $T0/1$ . Đây cũng là quá trình thu nhiệt, với nhiệt lượng thu vào là 35,51 kcal/mol. So với  $I_5$  thì  $I_1$  dễ hình thành hơn vì chất phản ứng đi qua hàng rào năng lượng thấp hơn; điều này hoàn toàn hợp lý vì sự tấn công của  $NH_3$  vào nguyên tử cacbon trung tâm khó hơn vào nguyên tử cacbon ở đầu mạch của  $C_3H_3$  do không thuận lợi về mặt không gian. Từ  $I_1$ , hai sản phẩm đồng phân  $I_3$  và  $I_4$  được hình thành theo 2 hướng khác nhau. Trong đó, sản phẩm trung gian  $I_3$  ( $H_3C-C=CH-NH_2$ ) được hình thành do quá trình chuyển dịch nguyên tử H từ nhóm  $NH_3$  sang nhóm  $CH_2$ . Quá trình này khá thuận lợi về mặt năng lượng do chỉ phải trải qua hàng rào năng lượng rất thấp là 1,57 kcal/mol. So với các chất trung gian khác thì  $I_3$  kém bền hơn vì nguyên tử cacbon trung tâm của  $I_3$  chưa được bão hòa hóa trị, còn một electron độc thân chưa tham gia liên kết, do đó khả năng hoạt hóa của  $I_3$  là rất cao, trạng thái này ứng với mức năng lượng là -6,46 kcal/mol trên bề mặt thế năng. Để chuyển về các trạng thái bền vững hơn,  $I_3$  có thể đi qua trạng thái chuyển tiếp  $T3/P2$  (21,63 kcal/mol) tạo ra sản phẩm  $P_2$  ( $HCCCH_3 + NH_2$ ) hoặc cũng có thể chuyển sang trạng thái trung gian đồng phân  $I_4$  khi đi qua  $T3/4$  ứng với mức năng lượng 34,34 kcal/mol. Ngoài ra, sản phẩm trung gian  $I_{16}$  ( $H_3C-CH=CH-NH, -31,45$  kcal/mol) cũng được sinh ra từ  $I_3$  thông qua trạng thái chuyển tiếp  $T3/16$ ; đây là quá trình chuyển dịch nguyên tử H từ nhóm  $NH_2$  sang nguyên tử C trung tâm; việc tách nguyên tử H thứ 2 của N là khá khó khăn, đó chính là nguyên nhân làm cho năng lượng của trạng thái chuyển tiếp rất cao 37,08 kcal/mol. Từ  $I_{16}$  tiếp tục hình thành 3 hướng phản ứng

khác nhau sinh ra các sản phẩm trung gian I<sub>17</sub> ( $\text{H}_2\text{C}-\text{CH}_2-\text{CH}=\text{NH}$ ), I<sub>18</sub> ( $\text{H}_3\text{C}-\text{CH}_2-\text{C}=\text{NH}$ ) và I<sub>19</sub> ( $\text{H}_3\text{C}-\text{CH}_2-\text{CH}=\text{N}$ ) ứng với các hàng rào năng lượng cần phải vượt qua là 43,86, 52,6 và 45,62 kcal/mol. Giữa I<sub>17</sub> và I<sub>18</sub> có sự chuyển đổi qua lại lẫn nhau thông qua trạng thái chuyển tiếp T17/18 (21,42 kcal/mol) ứng với sự dịch chuyển của nguyên tử H từ vị trí cacbon đầu mạch sang vị trí cacbon cuối mạch; khi đó có sự thay đổi góc liên kết  $\angle\text{NCC}$  từ 123° ở I<sub>17</sub> lên 137° ở I<sub>18</sub>. Bên cạnh đó, liên kết C-C trong cấu trúc của I<sub>17</sub> có thể bị đứt ra để hình thành sản phẩm P<sub>15</sub> ( $\text{C}_2\text{H}_4 + \text{HCNH}$ ) khi đi qua trạng thái chuyển tiếp T17/P15 (11,5 kcal/mol); nếu xét cho toàn bộ quá trình sinh ra P<sub>15</sub> thì đây là quá trình thu nhiệt với lượng nhiệt thu vào là 3,38 kcal/mol. Từ bề mặt thế năng có thể thấy rằng sản phẩm P<sub>19</sub> ( $\text{H}_3\text{C}-\text{CH}_2-\text{CN} + \text{H}$ ) có thể được tạo ra theo 2 hướng khác nhau; hướng thứ nhất đi ra từ trạng thái trung gian I<sub>18</sub> và hướng còn lại đi ra từ I<sub>19</sub>. Trong đó, hướng thứ nhất phải trải qua trạng thái chuyển tiếp T18/P19 có năng lượng cao hơn trạng thái chuyển tiếp của hướng thứ hai T19/P19 là 1,54 kcal/mol. Như vậy, xét về mặt năng lượng thì sản phẩm P<sub>19</sub> được tạo ra từ I<sub>19</sub> dễ hơn từ I<sub>18</sub>. Nếu xét toàn bộ quá trình tạo ra sản phẩm P<sub>19</sub> thì đây là quá trình tỏa nhiệt, với lượng nhiệt tỏa ra là 11,81 kcal/mol. Ngoài việc tạo ra sản phẩm P<sub>19</sub> như đã nói ở trên thì I<sub>18</sub> còn tạo ra sản phẩm P<sub>17</sub> ( $\text{C}_2\text{H}_5 + \text{CNH}$ ) và I<sub>19</sub> tạo ra sản phẩm P<sub>16</sub> ( $\text{C}_2\text{H}_5 + \text{HCN}$ ); nếu như P<sub>17</sub> được tạo ra trực tiếp từ I<sub>18</sub> mà không thông qua trạng thái chuyển tiếp thì P<sub>16</sub> lại được tạo ra từ I<sub>19</sub> phải trải qua trạng thái chuyển tiếp T19/P16 có năng lượng là -6,46 kcal/mol. Bằng việc so sánh có thể thấy đây là 2 sản phẩm hoàn toàn có thể cạnh tranh với nhau. Trong đó, sản phẩm P<sub>16</sub> bền hơn sản phẩm P<sub>17</sub> và sự hình thành của cả 2 sản phẩm này đều là những quá trình tỏa nhiệt, với năng lượng tỏa ra tương ứng là 15,35 và 1,67 kcal/mol.

Ngoài việc sinh ra I<sub>3</sub> như đã phân tích ở trên thì I<sub>1</sub> cũng sinh ra I<sub>4</sub> khi đi qua trạng thái chuyển tiếp T1/4 có hàng rào năng lượng là 6,48 kcal/mol. Đây là quá trình chuyển nguyên tử H từ nhóm NH<sub>3</sub> sang nguyên tử cacbon trung tâm của I<sub>1</sub>; vị trí chuyển tiếp ứng với khoảng cách của nguyên tử H so với N và C tương ứng là 1,19 và 1,67 Å; điều này hoàn toàn phù hợp với cấu trúc của trạng thái chuyển tiếp. So với I<sub>3</sub> thì I<sub>4</sub> khó tạo ra hơn vì phải vượt qua hàng rào năng lượng cao hơn của I<sub>3</sub> khoảng 5,0 kcal/mol. Từ I<sub>4</sub> có thể sinh ra sản phẩm P<sub>6</sub> ( $\text{H}_2\text{CCHCHNH} + \text{H}$ ) bằng 2 con đường khác nhau; trong đó đường thứ nhất là quá trình tách nguyên tử H từ nhóm NH<sub>2</sub> với năng lượng tách là 12,98 kcal/mol; đường thứ hai phải trải qua 2 giai đoạn khi đến với sản phẩm P<sub>6</sub>: giai đoạn thứ nhất có sự dịch chuyển của nguyên tử H từ nhóm NH<sub>2</sub> sang nhóm CH liền kề ứng với trạng thái chuyển tiếp T4/9 (19,54 kcal/mol) tạo ra sản phẩm trung gian I<sub>9</sub> ( $\text{H}_2\text{C}=\text{CH}-\text{CH}_2-\text{NH}$ , -11,33 kcal/mol), sau đó chính

nguyên tử H vừa dịch chuyển lại được tách ra khỏi I<sub>9</sub> ở trạng thái chuyển tiếp T9/P6 (18,71 kcal/mol) để tạo ra sản phẩm P<sub>6</sub> (9,75 kcal/mol). Như vậy, có thể thấy đường phản ứng tạo ra P<sub>6</sub> thuận lợi hơn cả là đường đi qua trạng thái chuyển tiếp T4/P6.

Qua phân tích ở trên cho thấy từ hai đường phản ứng cộng đầu vào đã cho ra rất nhiều sản phẩm khác nhau. Bề mặt thế năng cũng chỉ ra rằng đường phản ứng cộng đầu vào đi qua trạng thái chuyển tiếp T0/1 (36,62 kcal/mol) thuận lợi hơn đường phản ứng cộng đi qua trạng thái chuyển tiếp T0/5 (39,62 kcal/mol). Tuy nhiên, cả hai đường phản ứng cộng đều có năng lượng đầu vào rất cao, do đó những đường này có đóng góp không đáng kể cho việc tính động học của toàn bộ phản ứng trong hệ C<sub>3</sub>H<sub>3</sub> + NH<sub>3</sub>.

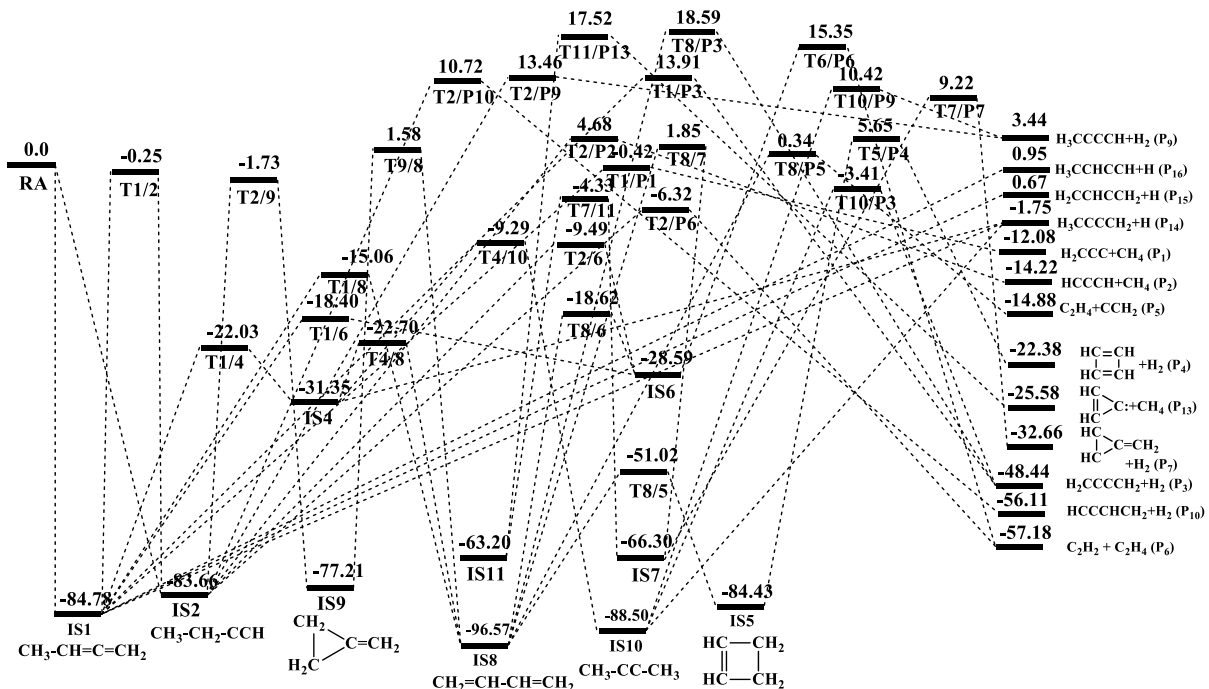
### 3.2.2. Phản ứng theo hướng tách.

Bề mặt thế năng (hình 1) chỉ ra rằng có 2 đường phản ứng tách nguyên tử H. Trong đó, đường phản ứng tách thứ nhất tạo ra sản phẩm P<sub>2</sub> thông qua duy nhất một trạng thái chuyển tiếp T0/P2 với hàng rào năng lượng là 23,94 kcal/mol. Mặc dù không tạo thành một phức chất trung gian ở giai đoạn đầu của quá trình tách nhưng khi đi qua trạng thái chuyển tiếp T0/P2 thì một phức chất trung gian (com1) đã được hình thành ứng với giá trị năng lượng 12,39 kcal/mol, ngay sau đó sản phẩm P<sub>2</sub> đã được hình thành mà không thông qua trạng thái chuyển tiếp nào. Ở đường phản ứng này, cấu trúc của T0/P2 cho thấy khi phân tử NH<sub>3</sub> tiếp cận với gốc C<sub>3</sub>H<sub>3</sub> thì một trong 3 nguyên tử H của NH<sub>3</sub> bị tách ra ở khoảng cách 1,374 Å để dần hình thành liên kết với nguyên tử C ở cuối mạch (nhóm CH<sub>2</sub>) của gốc propargyl, ứng với khoảng cách là 1,256 Å. Trong trường hợp này, độ dài liên kết của N...H và C...H dài hơn so với thực tế liên kết N-H và C-H [21] tương ứng là 0,355 và 0,166 Å.

### 3.3. Bề mặt thế năng của hệ C<sub>3</sub>H<sub>3</sub> + CH<sub>3</sub>

Trên bề mặt thế năng của hệ C<sub>3</sub>H<sub>3</sub> và CH<sub>3</sub> (Hình 2), hệ chất tham gia phản ứng ban đầu ký hiệu là RA; các sản phẩm tạo thành được ký hiệu là Px (x từ 1 đến 16); có 12 cấu trúc cực tiêu trung gian được ký hiệu là ISy (y từ 1 đến 12) và 33 cấu trúc trạng thái chuyển tiếp được ký hiệu là Tx/y, với x, y là các cực tiêu, sản phẩm và phức tương ứng.

Kết quả tính năng lượng dao động điểm không (ZPE) và năng lượng điểm đơn (HF) giúp ta xác định được các mức năng lượng tương quan của các cấu trúc so với mức năng lượng của hệ chất tham gia phản ứng ban đầu C<sub>3</sub>H<sub>3</sub>+CH<sub>3</sub> (RA) được qui ước bằng 0. Hình 3 là bề mặt thế năng rút gọn sau khi đã lược bỏ bớt các đường phản ứng có mức năng lượng cao. Vì vậy, một số trạng thái chuyển tiếp, trạng thái trung gian và sản phẩm không được thể hiện trên hình vẽ.

Hình 2. Bè mặt thê năng của hệ phản ứng giữa  $C_3H_3$  với  $CH_3$ 

### 3.4. Phân tích các đường phản ứng của hệ $C_3H_3 + CH_3$

Từ kết quả khảo sát ở trên, ta nhận thấy gốc  $CH_3$  tấn công gốc  $C_3H_3$  tại 2 vị trí  $C_1$  và  $C_3$  mà không thông qua trạng thái chuyển tiếp nào. Điều này hoàn toàn phù hợp vì cả 2 chất đều còn một electron độc thân chưa tham gia liên kết, nên khi gặp nhau chúng dễ dàng kết hợp với nhau và hình thành các hợp chất trung gian IS1 ( $CH_3-CH=C=CH_2$ ) và IS2 ( $CH_3-CH_2-CCH$ ) tương ứng với nguyên tử C tham gia liên kết lai hóa  $sp^2$  và  $sp^3$ . Cả hai quá trình hình thành IS1 và IS2 đều tỏa nhiệt, với lượng nhiệt tỏa ra tương ứng là 84,78 và 83,66 kcal/mol. Gốc  $CH_3$  không tấn công vào vị trí  $C_2$  có thể là do sự án ngữ về không gian và sản phẩm trung gian nếu được hình thành sẽ làm cho  $C_1$  không được bão hòa hóa trị.

Từ IS1, có nhiều con đường khác nhau hình thành các sản phẩm. Trong đó có 3 sản phẩm P<sub>14</sub>, P<sub>15</sub> và P<sub>16</sub> được hình thành trực tiếp từ IS1 mà không trải qua trạng thái chuyển tiếp nào. Sản phẩm P<sub>14</sub> ( $H_3CCCCH_2 + H$ ), P<sub>15</sub> ( $H_2CCHCCH_2 + H$ ) và P<sub>16</sub> ( $H_3CCHCCH + H$ ) thu được ứng với các quá trình tách nguyên tử H từ vị trí nhóm CH,  $CH_3$  và  $CH_2$  tương ứng của IS1. Vì cùng là quá trình tách nguyên tử H từ IS1 nên cả 3 sản phẩm nêu trên đều có các giá trị năng lượng xấp xỉ nhau, tương ứng với -1,75; 0,67 và 0,95 kcal/mol. Ngoài việc được tạo ra trực tiếp từ IS1 như trên, sản phẩm P<sub>14</sub> còn được tạo ra một cách dán tiếp khi IS1 đi qua trạng thái T1/4 (-22,03 kcal/mol) để sinh ra IS4 ( $CH_3-CCH=CH_2$ ). Từ trạng

thái trung gian này có thể tách nguyên tử H ở nhóm CH để trở thành sản phẩm P<sub>14</sub> hoặc chuyển vị nguyên tử H từ nhóm CH sang nhóm  $CH_2$  qua trạng thái chuyển tiếp T4/10 (-9,29 kcal/mol) để hình thành IS10 ( $CH_3-CC-CH_3$ ), rồi sau đó tách nguyên tử H ở nhóm  $CH_3$  sinh ra sản phẩm P<sub>14</sub>. Như vậy, sản phẩm P<sub>14</sub> có thể được hình thành theo 3 con đường khác nhau, trong đó đường đi ra trực tiếp từ IS1 sẽ thuận lợi hơn đường đi qua T1/4, và đường đi qua T4/10 kém thuận lợi hơn so với 2 đường còn lại.

Ngoài 3 sản phẩm nêu trên, 2 sản phẩm khác là P<sub>1</sub> và P<sub>3</sub> cũng được sinh ra từ IS1 khi chất phản ứng chỉ phải trải qua một hàng rào năng lượng tương ứng là T1/P1 và T1/P3. Trong đó, T1/P1 ứng với quá trình chuyển vị nguyên tử H từ nhóm CH sang nhóm  $CH_3$ , đồng thời cắt đứt liên kết giữa hai nguyên tử cacbon của 2 nhóm trên để tạo ra khí mêtan ( $CH_4$ ) trong sản phẩm của P<sub>1</sub>. T1/P3 ứng với quá trình tách 2 nguyên tử H từ vị trí nhóm CH và  $CH_3$  để trở thành phân tử 1,2,3-butatriene và  $H_2$  trong sản phẩm của P<sub>3</sub>; quá trình này cũng làm thay đổi góc liên kết  $\angle CCC$  từ 125° trong IS1 thành 180° trong phân tử sản phẩm ( $H_2CCCCH_2$ ). Cả 2 con đường hình thành sản phẩm P<sub>1</sub> và P<sub>3</sub> từ chất phản ứng (RA) đều là những quá trình tỏa nhiệt; nếu như quá trình tạo ra sản phẩm P<sub>1</sub> tỏa ra một lượng nhiệt là 12,08 kcal/mol thì khi tạo ra P<sub>3</sub> lượng nhiệt tỏa ra lớn hơn ở P<sub>1</sub> là 36,36 kcal/mol. Ngoài ra, sản phẩm P<sub>1</sub> cũng được sinh ra từ IS1 nhưng phải trải qua 3 giai đoạn chuyển tiếp khác nhau là T1/4, T4/10 và T10/p3. Trong đó, T1/4 ứng với quá trình chuyển vị nguyên tử H từ nhóm CH

sang nguyên tử C độc thân với khoảng cách tương ứng là 1,476 và 1,196 Å. Sản phẩm trung gian IS4 ( $\text{H}_3\text{C}-\text{CCH}=\text{CH}_2$ ) được hình thành ngay sau đó ứng với mức năng lượng tương quan thấp hơn chất phản ứng là 31,35 kcal/mol. T4/10 (-9,29 kcal/mol) là trạng thái chuyển tiếp giữa IS4 và IS10 ứng với quá trình chuyển vị của nguyên tử H từ nhóm CH sang nhóm  $\text{CH}_2$  hình thành IS10 ( $\text{H}_3\text{CCCCH}_3$ ) ở vị trí -88,5 kcal/mol. T10/P3 có vị trí cao nhất so với 2 trạng thái chuyển tiếp nói trên; tuy nhiên vẫn ở vị trí thấp hơn so với chất phản ứng 3,41 kcal/mol; trạng thái này cho biết hai nguyên tử H đang bị đứt ra đều ở khoảng cách là 1,602 Å và tiến lại gần nhau ở khoảng cách 0,945 Å. Như vậy, trong hai con đường hình thành sản phẩm P<sub>3</sub>, mặc dù phải trải qua 3 trạng thái chuyển tiếp như trên nhưng đường thứ hai khi đi qua IS4 và IS10 thuận lợi hơn rất nhiều về mặt năng lượng so với đường thứ nhất chỉ đi qua trạng thái chuyển tiếp T1/P3.

Ngoài ra, từ IS1 có thể hình thành 2 sản phẩm trung gian khác là IS6 và IS8 thông qua hai trạng thái chuyển tiếp tương ứng là T1/6 và T1/8. Nếu như ở T1/6 cho biết có sự dịch chuyển của nguyên tử H từ vị trí nhóm  $\text{CH}_2$  sang nguyên tử C độc thân bên cạnh để tạo ra IS6 ( $\text{H}_3\text{C}-\text{CHCHCH}$ ) thì T1/8 lại cho biết nguyên tử H được dịch chuyển từ vị trí nhóm  $\text{CH}_3$  đầu mạch vào vị trí nguyên tử C độc thân để tạo thành phân tử 1,3-butadien ( $\text{H}_2\text{C}=\text{CH}-\text{CH}=\text{CH}_2$ ). Do sự dịch chuyển xa hơn mà T1/8 có mức năng lượng cao hơn so với T1/6 (-18,4 kcal/mol) khoảng 3 kcal/mol. Tuy nhiên, cấu trúc của IS6 được tạo ra không cân đối, nhóm điểm đối xứng là C<sub>1</sub>, các nguyên tử tham gia liên kết chưa được bão hòa hóa trị; trong khi đó nhóm điểm đối xứng của IS8 là C<sub>2h</sub>. Do đó, IS8 (-96,57 kcal/mol) bền hơn rất nhiều so với IS6 (-28,59 kcal/mol). Ngoài ra, IS8 cũng là trạng thái trung gian bền vững nhất so với tất cả các IS khác trên bề mặt thế năng.

Ngoài ra, giữa IS1 và IS2 cũng có mối quan hệ với nhau thông qua trạng thái chuyển tiếp T1/2 ở vị trí 0,25 kcal/mol bên dưới chất phản ứng. Ở vị trí này, nguyên tử H của nhóm  $\text{CH}_2$  trong IS1 đang đứt ra ở khoảng cách 1,275 Å và dịch chuyển sang vị trí nhóm CH ở khoảng cách 1,399 Å và được rút ngắn xuống còn 1,093 Å trong IS2. Khi đó góc liên kết  $\angle \text{C}_1\text{C}_2\text{C}_3$  được bẻ cong đến vị trí 72,47° để thuận tiện cho việc dịch chuyển nói trên.

Từ IS6, sản phẩm P<sub>6</sub> ( $\text{C}_2\text{H}_2 + \text{C}_2\text{H}_4$ ) được hình thành thông qua trạng thái chuyển tiếp T6/P6 ứng với quá trình dịch chuyển nguyên tử H từ nhóm  $\text{CH}_3$  sang nhóm CH bên cạnh, đồng thời cắt đứt liên kết giữa 2 nguyên tử cacbon này hình thành ra 2 khí axetilen và etilen trong sản phẩm của P<sub>6</sub>. Vì xảy ra cả 2 giai đoạn (chuyển vị H và cắt đứt liên kết C-C) nên năng lượng cần tiêu tốn cho quá trình này tương đối cao, 15,35

kcal/mol là năng lượng tương đối của T6/P6. Tuy nhiên, cả 2 khí nói trên đều bền vững về mặt nhiệt động nên sản phẩm P<sub>6</sub> (-57,18 kcal/mol) thu được có năng lượng thấp nhất trong tất cả các sản phẩm sinh ra của hệ phản ứng.

Từ IS8, có nhiều đường phản ứng sinh ra các sản phẩm khác nhau. Trong đó, sản phẩm P<sub>4</sub> được sinh ra khi IS8 phải trải qua 2 giai đoạn chuyển tiếp là T8/5 và T5/P4. Giai đoạn thứ nhất đi qua T8/5 ứng với quá trình đóng vòng mạch cacbon, lúc này toàn mạch cacbon được bẻ cong để 2 nguyên tử C ở đầu mạch và cuối mạch tiến lại gần nhau ở khoảng cách 2,133 Å; khoảng cách này được rút ngắn xuống còn 1,57 Å trong cấu trúc của IS5, phù hợp với liên kết đơn giữa 2 nguyên tử cacbon và làm cho 2 nguyên tử cacbon này thay đổi trạng thái lai hóa từ sp<sup>2</sup> trong cấu trúc của IS8 sang sp<sup>3</sup> trong cấu trúc của IS5. So với cấu trúc của IS8 thì cấu trúc của IS5 có phần kém bền vững hơn do mất tính chất đối xứng, do vậy năng lượng tương đối của nó bị đẩy cao hơn so với IS8 khoảng 10 kcal/mol. Giai đoạn thứ hai là giai đoạn tách đồng thời 2 nguyên tử H ở 2 nhóm  $\text{CH}_2$  cạnh nhau ứng với khoảng cách tách trong T5/P4 đều là 1,617 Å, sau khi được tách ra chúng kết hợp với nhau để tạo thành phân tử  $\text{H}_2$ , phần còn lại tạo thành phân tử mạch vòng đối xứng, cyclo-1,3-butadien, trong sản phẩm của P<sub>4</sub>. Toàn bộ quá trình tạo thành sản phẩm P<sub>4</sub> từ chất phản ứng ban đầu đã tỏa ra một lượng nhiệt là 22,38 kcal/mol.

Không phải trải qua nhiều giai đoạn chuyển tiếp như P<sub>4</sub>, sản phẩm P<sub>5</sub> được sinh ra khi IS8 chỉ đi qua một giai đoạn chuyển tiếp duy nhất T8/P5 ở vị trí 0,34 kcal/mol. Đó là quá trình chuyển vị của nguyên tử H từ vị trí nhóm CH sang nhóm CH bên cạnh, đồng thời cắt đứt liên kết giữa 2 nguyên tử C này tạo ra sản phẩm bền  $\text{C}_2\text{H}_4$  và phần còn lại C $\text{CH}_2$  trong P<sub>5</sub>. Tuy sản phẩm P<sub>5</sub> dễ tạo ra hơn so với sản phẩm P<sub>4</sub> do hàng rào năng lượng thấp hơn, nhưng P<sub>5</sub> lại kém bền hơn P<sub>4</sub> do C $\text{CH}_2$  còn một cặp electron chưa tham gia liên kết, điều đó dẫn đến năng lượng của P<sub>5</sub> cao hơn P<sub>4</sub> khoảng 7 kcal/mol. Ngoài ra giữa IS8 và IS6 còn có mối quan hệ với nhau thông qua trạng thái chuyển tiếp T8/6 ứng với quá trình chuyển dịch của một nguyên tử H từ nhóm  $\text{CH}_2$  ở đầu mạch sang nhóm  $\text{CH}_2$  ở cuối mạch. Giai đoạn này đòi hỏi một lượng năng lượng cao hơn trạng thái chuyển tiếp T8/5 khoảng 33 kcal/mol.

Từ IS2, có nhiều đường khác nhau sinh ra các sản phẩm P<sub>2</sub>, P<sub>6</sub>, P<sub>9</sub> và P<sub>10</sub>. Trong đó, sản phẩm P<sub>2</sub> ( $\text{HCCCCH} + \text{CH}_4$ , -14,22 kcal/mol) được sinh ra khi IS2 vượt qua hàng rào năng lượng T2/P2 có chiều cao nằm trên chất phản ứng ban đầu là 4,68 kcal/mol; đây là quá trình chuyển dịch nguyên tử H từ nhóm  $\text{CH}_2$  sang nhóm  $\text{CH}_3$ , đồng thời cắt đứt liên kết giữa 2 nguyên tử C này và sinh ra khí metan trong sản phẩm

của P<sub>2</sub>. Như vậy, có thể thấy P<sub>1</sub> và P<sub>2</sub> là 2 sản phẩm đồng phân của nhau nên có tính cạnh tranh nhau; tuy nhiên sản phẩm P<sub>1</sub> dễ hình thành hơn P<sub>2</sub> do hàng rào năng lượng thấp hơn. Sản phẩm P<sub>6</sub> ngoài việc hình thành từ IS1 như đã phân tích ở trên thì còn được hình thành từ IS2 thông qua trạng thái chuyển tiếp T2/P<sub>6</sub> (-6,32 kcal/mol). Đây cũng là trạng thái chuyển tiếp kết nối từ trạng thái trung gian ra sản phẩm mà có mức năng lượng thấp nhất. Hơn nữa, P<sub>6</sub> cũng là sản phẩm bền vững nhất về mặt nhiệt động, do vậy đường phản ứng đi qua IS2 tạo ra sản phẩm P<sub>6</sub> là đường thuận lợi nhất về mặt năng lượng so với tất cả các đường còn lại của bề mặt thế năng. Sản phẩm P<sub>9</sub> cũng được tạo ra từ IS2, khi đó 2 nguyên tử H ở cùng vị trí của nhóm CH<sub>2</sub> được tách ra và kết hợp với nhau tạo thành phân tử H<sub>2</sub>; quá trình này làm thay đổi góc liên kết  $\angle$ HCH từ 106,14° trong IS2 xuống còn 20,36° khi 2 nguyên tử H đang đứt ra ở trạng thái T2/P<sub>9</sub> (13,46 kcal/mol), đồng thời khoảng cách giữa 2 nguyên tử H đã được thu hẹp từ 1,748 Å xuống còn 0,816 Å khi 2 H tiến lại gần nhau, điều này hoàn toàn phù hợp với cấu trúc của một trạng thái chuyển tiếp. Qua phân tích cho thấy sản phẩm P<sub>9</sub> được tạo ra thông qua 2 đường khác nhau, đường thứ nhất đi qua IS1, đường còn lại đi qua IS2; xét về mặt năng lượng đường thứ nhất dù đi qua nhiều trạng thái khác nhau nhưng lại thuận lợi hơn đường thứ hai. Cuối cùng sản phẩm P<sub>10</sub> cũng được sinh ra từ IS2 khi đi qua trạng thái chuyển tiếp duy nhất T2/P<sub>10</sub> ứng với vị trí 10,72 kcal/mol của quá trình tách 2 nguyên tử H ở nhóm CH<sub>3</sub> và CH<sub>2</sub> bên cạnh, cấu trúc của T2/P<sub>10</sub> cho thấy 2 nguyên tử này đang đứt ra ở các khoảng cách tương ứng là 1,165 và 2,394 Å; và tiến lại gần nhau ở khoảng cách 1,438 Å trước khi tạo ra khí hiđro trong sản phẩm của P<sub>10</sub> (HCCCCCH<sub>2</sub> + H<sub>2</sub>), đây cũng là sản phẩm khá bền về mặt nhiệt động và quá trình tạo ra P<sub>10</sub> là quá trình tỏa nhiệt, với lượng nhiệt sinh ra khoảng 56 kcal/mol. Ngoài những sản phẩm đã phân tích ở trên, còn có một số sản phẩm khác như P<sub>11</sub>, P<sub>12</sub> và P<sub>13</sub> cũng xuất hiện trong hệ phản ứng; tuy nhiên do chất phản ứng phải vượt qua các hàng rào năng lượng khá cao khi hình thành ra các sản phẩm này, nên có thể bỏ qua khi xem xét các sản phẩm của hệ.

Như vậy, với hệ phản ứng giữa gốc C<sub>3</sub>H<sub>3</sub> và gốc CH<sub>3</sub> ta thu được 16 sản phẩm. Từ bề mặt thế năng ta nhận thấy, hầu hết các quá trình hình thành sản phẩm đều tỏa nhiệt. Trong đó, sản phẩm P<sub>6</sub> có năng lượng tương quan bé nhất, sản phẩm ưu tiên nhất. Bên cạnh đó các sản phẩm cắt đứt trực tiếp liên kết thường có năng lượng cao do liên kết C-C bền vững.

### 3.5. So sánh khả năng phản ứng của C<sub>3</sub>H<sub>3</sub> với NH<sub>3</sub> và CH<sub>3</sub>

Qua việc phân tích khả năng phản ứng của C<sub>3</sub>H<sub>3</sub> với NH<sub>3</sub> và CH<sub>3</sub> như trên cho thấy, khả năng phản

ứng của CH<sub>3</sub> với C<sub>3</sub>H<sub>3</sub> tốt hơn khả năng phản ứng của NH<sub>3</sub> với C<sub>3</sub>H<sub>3</sub>. Điều này được thể hiện bằng những hàng rào năng lượng đầu vào khi NH<sub>3</sub> hoặc CH<sub>3</sub> tấn công vào gốc C<sub>3</sub>H<sub>3</sub>. Cụ thể, trên bề mặt thế năng của hệ C<sub>3</sub>H<sub>3</sub> + NH<sub>3</sub>, hai hàng rào năng lượng đầu vào thông qua T0/1 và T0/5 có giá trị năng lượng rất cao, tương ứng là 36,62 và 39,62 kcal/mol. Trong khi đó, bề mặt thế năng của hệ C<sub>3</sub>H<sub>3</sub> + CH<sub>3</sub> lại cho biết khi CH<sub>3</sub> tấn công vào gốc C<sub>3</sub>H<sub>3</sub> lại không phải vượt qua hàng rào năng lượng đầu vào nào cả, các chất trung gian IS1 và IS2 được tạo ra một cách nhanh chóng ngay sau khi hai chất phản ứng va chạm vào nhau. Điều này hoàn toàn phù hợp vì NH<sub>3</sub> là một cấu trúc vỏ đóng, nên phản ứng giữa nó với C<sub>3</sub>H<sub>3</sub> rất khó xảy ra; trong khi đó CH<sub>3</sub> lại là một cấu trúc vỏ mở, còn một electron độc thân, nên khi 2 gốc hiđrocacbon tiến lại gần nhau thì dễ dàng xảy ra phản ứng. Mặt khác, nếu so sánh các đường phản ứng ở hai bề mặt thế năng với nhau thì hầu hết các đường phản ứng trên bề mặt thế năng thứ hai đều có năng lượng thấp hơn các đường phản ứng trên bề mặt thế năng thứ nhất. Các quá trình tạo ra các sản phẩm của hệ C<sub>3</sub>H<sub>3</sub> + NH<sub>3</sub> phần lớn là những quá trình thu nhiệt, trong khi đó các quá trình tạo ra các sản phẩm của hệ C<sub>3</sub>H<sub>3</sub> + CH<sub>3</sub> lại là những quá trình tỏa nhiệt. Các sản phẩm trung gian của hệ thứ nhất kém bền hơn các sản phẩm trung gian của hệ thứ hai, điều này được thể hiện qua giá trị năng lượng tương đối trên bề mặt thế năng; trong khi năng lượng của các chất trung gian trong hệ thứ nhất dao động xung quanh ngưỡng -40 kcal/mol thì năng lượng của các chất trung gian trong hệ thứ hai dao động xung quanh giá trị -80 kcal/mol. Sản phẩm bền nhất trong hệ đầu tiên là P<sub>13</sub> (H<sub>3</sub>CCN + CH<sub>3</sub>) ứng với mức năng lượng -22,97 kcal/mol; trong khi đó sản phẩm bền nhất trong hệ thứ hai là P<sub>6</sub> (C<sub>2</sub>H<sub>2</sub> + C<sub>2</sub>H<sub>4</sub>) ứng với mức năng lượng -57,18 kcal/mol. Sở dĩ P<sub>6</sub> bền hơn P<sub>13</sub> là do các khí trong P<sub>6</sub> đều là những khí bền vững về mặt nhiệt động và là những sản phẩm trung hòa điện tích, còn P<sub>13</sub> còn chứa gốc tự do CH<sub>3</sub> nên kém bền ở điều kiện thường.

### 4. Kết luận

Bằng việc sử dụng phương pháp phiếm hàm mật độ (DFT) chúng tôi đã xây dựng được hệ thống cấu trúc các chất phản ứng, các chất trung gian, các chất ở trạng thái chuyển tiếp và toàn bộ sản phẩm của cả 2 hệ phản ứng C<sub>3</sub>H<sub>3</sub> + NH<sub>3</sub> và C<sub>3</sub>H<sub>3</sub> + CH<sub>3</sub>. Trên cơ sở tính năng lượng tương đối của các chất so với chất phản ứng, chúng tôi đã xây dựng được hai bề mặt thế năng thể hiện các đường phản ứng liên quan đến 2 hệ trên. Việc phân tích các đường phản ứng trên bề mặt thế năng thứ nhất cho thấy quá trình tách nguyên tử H từ nhóm NH<sub>3</sub> sang gốc C<sub>3</sub>H<sub>3</sub> là quá trình thuận lợi nhất về mặt năng lượng, tuy nhiên hàng rào năng lượng mà chất phản ứng ban đầu phải vượt qua còn khá cao, tương ứng là 23,94 và 26,14 kcal/mol. Quá

trình công hợp  $\text{NH}_3$  vào gốc propargyl có năng lượng dầu vào rất cao nên không thể xảy ra ở điều kiện bình thường. Đối với hệ thứ hai phản ứng xảy ra dễ dàng hơn do đây là hai gốc tự do nên việc kết hợp với nhau không phải trải qua hàng rào năng lượng dầu vào. Nhiều sản phẩm của hệ phản ứng này được tạo ra dễ dàng do các hàng rào năng lượng mà chúng phải trải qua có năng lượng rất thấp. Trong đó, đường phản ứng tạo ra sản phẩm  $\text{P}_6$  thuận lợi nhất về mặt năng lượng. Quá trình so sánh khả năng phản ứng của hai hệ nói trên cho thấy các đường phản ứng trong hệ thứ hai dễ dàng xảy ra hơn so với các đường phản ứng của hệ thứ nhất. Như vậy, có thể kết luận được rằng khả năng phản ứng của gốc propargyl đối với chất có cấu hình vỏ đóng khó xảy ra hơn so với chất có cấu hình vỏ mở.

Lời cảm ơn: Trân trọng cảm ơn Trường Đại học Bách khoa Hà Nội đã tài trợ cho công trình này thông qua đề tài có mã số T2016-PC-154.

#### Tài liệu tham khảo

- [1]. Ken R D, Wu C H, Yong J N. Pamidimukkala K M & Singh H J, Energy and Fuels, 2, 454 (1988).
- [2]. Ken R D, Singh H J & Wu C H, Int J. Chem Kinet, 20, 731 (1988).
- [3]. Nguyen T. L., Mebel A. M, Kaiser R. I., "A Theoretical Investigation of the Triplet Carbon Atom  $\text{C}(3\text{P})$  Vinyl Radical  $\text{C}_2\text{H}_3(2\text{A}')$ ", Reaction and Thermochemistry of  $\text{C}_3\text{H}_n$  ( $n=1-4$ ) Species", J. Phys. Chem. A, 105, (2001) 3284-3299.
- [4]. Nguyen T. L., Mebel A.M., Lin S.H., Kaiser R.I., "Product Branching Ratios of the  $\text{C}(3\text{P}) + \text{C}_2\text{H}_3(2\text{A}')$  and  $\text{CH}(2\Pi) + \text{C}_2\text{H}_2(1\Sigma^+)$  Reactions and Photodissociation of  $\text{H}_2\text{CCCH}(2\text{B}1)$  at 193 and 242 nm: An Ab Initio/RKRM Study", J. Phys. Chem. A, 105, (2001) 11549 –11559.
- [5]. Parsons A. F., An introduction to free radical chemistry, Blackwell science Ltd (2000).
- [6]. Steven E. Wheeler, Kenneth A. Robertson, Wesley D. Allen, and Henry F. Schaefer, Thermochemistry of Key Soot Formation Intermediates:  $\text{C}_3\text{H}_3$  Isomers, Center for Computational Chemistry University of Georgia, Athens, GA 30602 (2007).
- [7]. Phạm Văn Tiến, Lê Kim Long, Nguyễn Thị Minh Huệ, Nghiên cứu lý thuyết cơ chế phản ứng giữa gốc propargyl với gốc hydroxyl bằng phương pháp phiếm hàm mật độ, Tạp chí Hóa học, 51(3), (2014) 305-311.
- [8]. Vadim D. Knyazev, Irene R. Slagle. Kinetics of the Reactions of Allyl and Propargyl Radicals with  $\text{CH}_3$ . J. Phys. Chem. A, 105, (2001) 3196-3204.
- [9]. Tisdale, Samuel L.; Nelson, Werner L.; Beaton, James D. Soil fertility and fertilizers, New York: Macmillan, (1985) 161–168.
- [10]. Benini, Stefano, Wojciech R. Rypniewski, Keith S. Wilson, Silvia Miletta, Stefano Ciurli, and Stefano Mangani. A new proposal for urease mechanism based on the crystal structures of the native and inhibited enzyme from *Bacillus pasteurii*: why urea hydrolysis costs two nickels. Structure 7: (1999), 205-216.
- [11]. Christianson, C.B., et al. Microsite Reactions of Urea-nBTPT Fertilizer on the Soil Surface. Soil Biology and Biochemistry. (1993) 1107-1117.
- [12]. (24). Torello W.A. and Wehner D.J.. Urease Activity in a Kentucky Bluegrass Turf. Agronomy Journal, (1983) 654-656.
- [13]. Nobel Prize in Chemistry (1918) – Haber-Bosch process". (2009).
- [14]. "Chemistry of the Group 2 Elements – Be, Mg, Ca, Sr, Ba, Ra". BBC.co.uk. (2009).
- [15]. Anna L. Garden†‡ and Egill Skúlason\*‡, The Mechanism of Industrial Ammonia Synthesis Revisited: Calculations of the Role of the Associative Mechanism. J. Phys. Chem. C, 119 (47), (2015) 26554–26559.
- [16]. "ISO detects a new molecule in interstellar space". Science & Technology. European Space Agency. (2013).
- [17]. Hall, G. E.; Vanden Bout, D.; Sears, Trevor J. "Photodissociation of acetone at 193 nm: Rotational-and vibrational-state distributions of methyl fragments by diode laser absorption/gain spectroscopy". The Journal of Chemical Physics. (1991).
- [18]. "Trace Gases: Current Observations, Trends, and Budgets". Climate Change, IPCC Third Assessment Report. IPCC/United Nations Environment Programme (2001).
- [19]. M. J. Frisch, G. W. Trucks, H. B. Schlegel,.., J. A. Pople. Gaussian, Inc., Pittsburgh PA, (2009).
- [20]. Frank Jensen. Introduction to Computational Chemistry; Second edition; John Wiley & Sons, Ltd (2007).
- [21]. Pedley, J.B., Thermochemical Data and Structures of Organic Compounds, Thermodynamic Research Center, Texas A & M University, College Station, TX, (2015).